

# Študij alkoksidsnih prekurzorjev keramike na osnovi PbZrO<sub>3</sub>-PbTiO<sub>3</sub>

## A Study of Alkoxide Precursors of PbZrO<sub>3</sub>-PbTiO<sub>3</sub> Based Ceramics

B. Malič<sup>1</sup>, I. Arčon, M. Kosec, A. Kodre, M. Hribar, M. Štuhec, IJS Ljubljana

R. Frahm, Hamburger Synchrotronstrahlungslabor, DESY, Notkestrasse 85, Hamburg, Nemčija

Prejem rokopisa - received: 1995-10-04; sprejem za objavo - accepted for publication: 1996-01-22

*Amorfne prekurzorje keramike PbZrO<sub>3</sub> in PbTiO<sub>3</sub> smo pripravili po alkoksidnem sol-gel postopku iz svinčevega acetata in titanovih in cirkonijevih alkoksido. Nastale komplekse smo hidrolizirali s prebitkom vode. Hlapne stranske produkte smo analizirali s plinsko kromatografijo. Z rentgensko absorpcioško spektroskopijo (EXAFS) smo študirali lokalno urejenost okolice kovinskih atomov v hidroliziranih prekurzorjih.*

*Ključne besede:* PbZrO<sub>3</sub>, PbTiO<sub>3</sub>, prekurzorji, EXAFS

*Amorphous precursors for PbZrO<sub>3</sub> and PbTiO<sub>3</sub> ceramics were prepared from lead acetate and the transition metal n-propoxide in n-propanol or n-butoxide in n-butanol and hydrolysed with an excess of water. GLC analysis of volatile products was performed in order to follow the reaction between the acetates and alkoxides. EXAFS analysis was used for establishing the local environments of metal atoms in hydrolysed Pb-Zr and Pb-Ti precursors.*

*Key words:* PbZrO<sub>3</sub>, PbTiO<sub>3</sub>, precursors, EXAFS

### 1 Uvod

Alkoksidsna sol-gel sinteza večkomponentnih keramičnih materialov vodi do večje homogenosti v primerjavi s sintezo iz konstitutivnih oksidov v trdnem stanju pod pogojem, da ima že heterometalni kompleks stehiometrijo ciljne spojine. Vendar pa med osnovne probleme alkoksidsnega postopka uvrščamo nepoznavanje tako ključnih parametrov sinteze in strukture heterometalnih kompleksov, kot tudi lokalne urejenosti okolice kovinskih atomov v amorfnih prekurzorjih<sup>1</sup>.

Po alkoksidnem sol-gel postopku smo iz propoksidov in butoksidov sintetizirali PbZrO<sub>3</sub> in PbTiO<sub>3</sub>. Ugotovili smo, da je potek termičnega razpada in kristalizacije PbZrO<sub>3</sub> odvisen od vrste alkoksida, ki smo ga uporabili za sintezo. Pri termičnem razpadu prekurzorja Pb-Zr, sintetiziranega iz cirkonijevega propoksida, pride do izrazite separacije faz, medtem ko se pri butoksidnem prekurzoru homogenost ohrani, kot nam kažejo rezultati rentgenske analize<sup>2</sup>. Različen potek kristalizacije pripisujemo različni strukturi prekurzorjev Pb-Zr. Pri prekurzorjih Pb-Ti vpliva vrsta alkoksida v manjši meri na termični razpad in kristalizacijo PbTiO<sub>3</sub><sup>3</sup>.

V delu so opisani rezultati študija reakcij v tekoči fazi in lokalne urejenosti okolice kovinskih atomov amorfnih hidroliziranih prekurzorjev Pb-Zr in Pb-Ti, s katerimi skušamo pojasniti razlike v njihovem termičnem razpadu in kristalizaciji.

### 2 Eksperimentalno delo

Amorfne prekurzorje PbZrO<sub>3</sub> in PbTiO<sub>3</sub> smo sintetizirali iz brezvodnega svinčevega acetata in cirkonijevega oziroma titanovega n-propoksida v n-propanolu ali n-butoksida v n-butanolu. Reakcije smo zaradi občutljivosti alkoksidoval za zračno vlago izvajali v atmosferi suhega inertnega plina. Svinčev acetat se je v vseh primerih raztopil pod 60°C. Bistre rumene raztopine smo refluktirali 1 ura. Hlapne stranske produkte reakcije smo oddestilirali. Raztopine smo hidrolizirali pri sobni temperaturi z 10 mol vode na mol svinčevega acetata. Nastale obovine smo sušili pri 60 in 150°C.

Hlapne produkte reakcije smo analizirali z <sup>1</sup>H NMR in plinsko kromatografijo (5% FFAP na Chromosorbu W, TC, He) z metilfeniletrom kot notranjim standardom.

Meritve EXAFS spektrov Pb L3, Zr K robov in Ti K robov smo izvedli na postajah EXAFS II in ROEMO na sinhrotronu DESY (Hamburg).

### 3 Rezultati in diskusija

Ker je svinčev acetat netopen v n-propanolu in n-butanolu<sup>4</sup>, lahko poteče raztopljanje acetata v prisotnosti alkoksidoval prehodnih kovin v alkoholi le z reakcijo. Predpostavili smo stehiometrične reakcije. V splošnem poteče reakcija med acetatom in alkoksidom z eliminacijo estra (enačba 1)<sup>1</sup>. Možna je tudi adicijska reakcija (enačba 2)<sup>5</sup>.



<sup>1</sup> Dr. Barbara MALIČ  
Inštitut Jožef Stefan  
1001 Ljubljana, Jamova 39

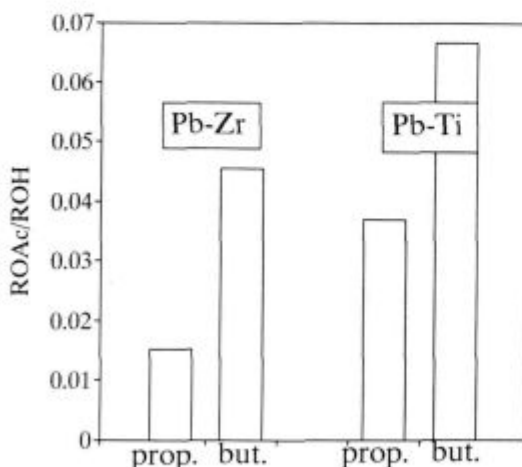
S plinsko kromatografijo smo v destilatih potrdili prisotnost alkilacetatov, kar pomeni, da je potekla reakcija eliminacije estra. Reakcijskih produktov zaradi velike občutljivosti za zračno vlogo nismo mogli analizirati. Ne glede na to je semikvantitativna primerjava rezultatov možna, saj se sestavi azeotropnih mešanic razlikujeta za nekaj odstotkov<sup>4</sup>. Razmerja alkilacetat / alkohol za posamezne prekurzorje so predstavljena na sliki 1. Delež alkilacetata v destilatih je odvisen tako od vrste kovinskega atoma M, kot od vrste alkoksidsne skupine. Tako je molsko razmerje n-propil acetat/n-propanol za kompleks Pb-Zr enako 0,015, za kompleks Pb-Ti pa 0,037, razmerje n-butil acetat/n-butanol za kompleks Pb-Zr 0,045 in za kompleks Pb-Ti 0,067. Pri kompleksihih Pb-Zr poteče reakcija z eliminacijo estra (1) v manjši meri kot pri kompleksihih Pb-Ti.

Ne glede na vrsto kovinskih atomov poteče reakcija z eliminacijo estra v manjšem obsegu pri n-propoksidnih kompleksihih v primerjavi z n-butoksidnimi. Sinteza n-propoksidnih kompleksov poteče torej v večji meri z reakcijo adicije acetata. Vezi med svinčevimi in cirkonijevimi oziroma titanovimi atomi so v večji meri acetatne mostovne in v manjši meri okso mostovne.

Nasprotno pa sinteza n-butoksidnih kompleksov poteče v večji meri z eliminacijo estra. Večji delež vezi med svinčevimi in cirkonijevimi oziroma titanovimi atomi je v tem primeru okso mostovna vez in v manjši meri acetatna mostovna vez.

S hidrolizo in polikondenzacijo heterometalnih kompleksov smo pripravili produkte, ki jih opišemo s splošno formulo  $PbMO_x(OAc)_y(OR)_w(OH)_z$ . Proizvodi so rentgensko amorfni. Prisotnost acetatnih in hidroksilnih skupin v produktih smo potrdili z infra rdečo spektroskopijo<sup>2</sup>. Metoda ni selektivna za določanje alkoksidsnih skupin, ki so v skladu z literaturnimi podatki lahko prisotne tudi po hidrolizi<sup>1</sup>.

Lokalno urejenost okolice kovinskih atomov v hidroliziranih in posušenih kompleksihih Pb-Zr in Pb-Ti

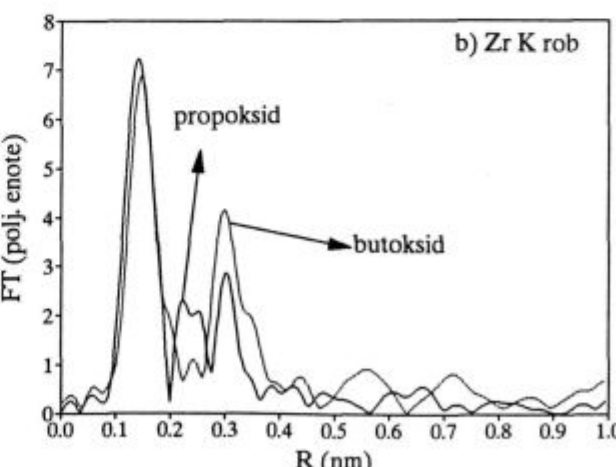
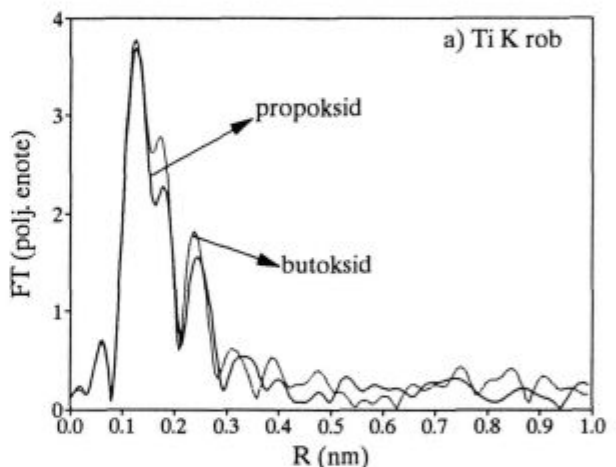


Slika 1: Razmerje alkilacetata/alkohol (ROAc/ROH) v destilatih pri sintezi Pb-Zr in Pb-Ti prekurzorjev

Figure 1: Alkylacetate/alcohol (ROAc/ROH) ratio in distillates for Pb-Zr and Pb-Ti precursors

smo študirali z rentgensko absorpcijsko spektroskopijo (EXAFS). Rezultati analize<sup>6</sup> so zbrani v tabeli 1. Zaenkrat v literaturi še ni podatkov o analizi EXAFS podobnih alkoksidsnih kompleksov, obstajajo le za enostavne alkokside.

Ugotovili smo, da vrsta alkoksida ne vpliva na okolico svinčevih atomov, malo vpliva na okolico titanovih atomov (slika 2a) in izrazito na okolico cirkonijevih atomov (slika 2b). Spektre EXAFS slednjih smo zato natančneje obdelali. V Fourierjevi transformiranki cirkonijevega spektra EXAFS vidimo v obeh alkoksidsnih prekurzorjih lupino kisikovih atomov na razdalji 0,212 do 0,217 nm in lupino cirkonijevih atomov na razdalji 0,341 nm od cirkonija. V propoksidnem prekurzoru je nadalje prisotna dodatna plast cirkonijevih atomov na razdalji 0,291 nm, kar predstavlja izrazito struktorno razliko med prekurzorjem. V okolici svinčevih atomov smo identificirali le plast kisikov na 0,239 nm. Na osnovi opisanih rezultatov ne moremo potrditi vezi med svincem in cirkonijem.



Slika 2: Fourier-jevi transformiranki a) Ti in b) Zr spektra EXAFS v n-propoksidnih in n-butoksidnih prekurzorjih

Figure 2: Fourier transforms a) Ti and b) Zr EXAFS spectra of n-propoxide and n-butoxide precursor

**Tabela 1:** Koordinacijske sfere kovinskih atomov v alkoksidsnih prekurzorjih Pb-Zr in Pb-Ti

Rob	n-propoksid			n-butoksid	
	Lupina	Atom	R(nm)	Atom	R(nm)
<b>prekurzor Pb-Zr</b>					
Zr K	1	O	0,212	O	0,217
	2	Zr	0,291	-	-
	3	Zr	0,341	Zr	0,341
Pb L <sub>3</sub>	1	O	0,239	O	0,239
	2	O	0,221	O	0,221
	3	Ti	0,337	Ti	0,337
Pb L <sub>3</sub>	1	O	0,232	O	0,239
	2	O	0,337	Ti	0,338
	3	Ti	0,337		

R - razdalja med centroma atomov

Titanovi atomi so v obeh prekurzorjih obkroženi z dvema lupinama kisikovih atomov na 0,173 in 0,19 nm, z lupino titanovih atomov na 0,3 nm in lupino svinčevih atomov na razdalji 0,337 nm. Vez med titanovimi in svinčevimi atomi je torej v prekurzorjih Pb-Ti potrjena. Razdalje Ti - Ti in Ti - O se ujemajo z rezultati Babonneauja in sodelavcev za Ti n-butoksid<sup>7</sup>.

#### 4 Sklepi

Komplekse Pb-Zr in Pb-Ti smo sintetizirali iz svinčevega acetata in cirkonijevih oziroma titanovih n-propoksidov in n-butoksidov. Hlapne organske komponente sinteze smo analizirali s plinsko kromatografijo in amorfne hidrolizirane produkte z rentgensko absorpcijo (EXAFS) spektroskopijo. Rezultati nam kažejo, da vrsta alkoksidsne skupine izrazito vpliva na delež organskih skupin v heterometalnih kompleksih in na lokalno urejenost kovinskih atomov v hidroliziranih produktih. Predvsem pri n-propoksidnih in n-butoksidnih prekurzorjih Pb-Zr so opisane strukturne razlike verjetno osnova različnih potekov kristalizacije PbZrO<sub>3</sub>.

#### 5 Literatura

- <sup>1</sup>C. D. Chandler, C. Roger, M. J. Hampden-Smith, *Chem. Rev.*, 93, 1993, 1205
- <sup>2</sup>B. Malič, M. Kosec, B. Orel, sprejeto v objavo v *Silicates Industriels*
- <sup>3</sup>B. Malič, M. Kosec, Kristalizacija PbTiO<sub>3</sub>, sintetiziranega po alkoksidnem sol-gel postopku, *I. posvetovanje o materialih, Portorož*, 6.-8. 10. 1993, povzetek
- <sup>4</sup>Handbook of Chemistry and Physics, CRC PressWest Palm Beach, 1977/78
- <sup>5</sup>L. G. Hubert-Pfalzgraf, *Mater. Res. Soc. Symp. Proc.*, 271, M. J. Hampden-Smith, W. G. Klemperer, C. J. Brinker (Materials Research Society, Pittsburgh, 1992) 15
- <sup>6</sup>E. A. Stern, M. Newville, B. Ravel, Y. Yacoby, D. Haskel, *Physica*, B 208-209, 1995, 117
- <sup>7</sup>F. Babonneau, S. Doeuff, A. Leautic, C. Sanchez, C. Cartier, M. Verdaguer, *Inorg. Chem.*, 27, 1988, 3166